



Evaluating the Impact of Land Use Changes on Erosion and Sedimentation using the EPM model (Case Study: Kal-Aji Basin, Golestan Province)



Saleh Arekhi^{a*}, Somia Salmani^b, Somia Emadaddian^c

^aAssistant Professor in Remote Sensing, Golestan University, Gorgan, Iran

^bMA Student in Environmental Hazards, Golestan University, Gorgan, Iran

^cAssistant Professor in Geomorphology, Golestan University, Gorgan, Iran

Received: 19 December 2021

Revised: 26 January 2022

Accepted: 5 February 2022

Abstract

The present study was conducted to investigate the trend of land use changes and its impact on erosion and sediment, using Landsat satellite images of 1987, 2010 and 2019 and EPM model in the Kal-Aji watershed of Golestan province. Land use map was prepared using the maximum likelihood method. Training data were used to evaluate the accuracy of the results. Then, the most important methods of accuracy assessment, including total accuracy and classification kappa coefficient, were extracted. Those for 1987, 2010 and 2019, the total accuracy were 95, 98 and 95 and kappa coefficient were 0.93, 0.96 and 0.93, respectively. Erosion and sedimentation zoning maps were performed using the resulted land use maps, and such factors as slope, lithology, soil and precipitation were performed using the EPM method. The results showed that one of the most important factors in the Kal-Aji watershed is the loss of rangeland vegetation and its conversion into agricultural land. According to the hypothesis, the role of land use changes in the amount and increase of erosion and sediment was significantly determined. That is, with the change of land use, erosion and sediment have also increased. The reasons for the increase in the amount of sediment in the Kal-Aji area are the development of agricultural land uses and the decrease in rangeland between 1987 and 2019 (16.83%). These changes have reduced the important role of rangelands and vegetation of Kal-Aji watershed and have increased the amount of sediment in the outflow of sub-watersheds. Based on the obtained results, the total amount of special sediment was related to the period of 1987 (4353 cubic meters), which increased to 5164 cubic meters in 2019, which indicates the changes in land use that occurred in the watershed.

Keywords: Erosion and Sediment, Land Cover, Land Use, EPM, GIS, Kal-Aji

* Corresponding author: Saleh Arekhi Email: s.arekhi@gu.ac.ir Tel: + 989113690648

How to cite this Article: Arekhi, S., Salmani, S., & Emadodin, S. (2023). Evaluating the impact of land use changes on erosion and sedimentation using the EPM model (Case study: Kal-Aji basin, Golestan province). *Journal of Geography and Environmental Hazards*, 12(3), 273-301.

DOI: 10.22067/geoh.2022.74281.1145



Journal of Geography and Environmental Hazards are fully compliant with open access mandates, by publishing its articles under Creative Commons Attribution 4.0 International License (CC BY 4.0).



Creative Commons Attribution 4.0 International License (CC BY 4.0)

Geography and Environmental Hazards

Volume 12, Issue 3 - Number 47, Fall 2023

<https://geoeh.um.ac.ir>

<https://doi.org/10.22067/geoeh.2022.74281.1145>

جغرافیا و مخاطرات محیطی، سال دوازدهم، شماره چهل و هفتم، پاییز ۱۴۰۲، صص ۲۷۳-۳۰۱

مقاله پژوهشی

ارزیابی تأثیر تغییرات کاربری اراضی روی فرسایش و رسوب با استفاده از مدل EPM (مطالعه موردی: حوضه کالآجی استان گلستان)

صالح آرخی^۱ - استادیار جغرافیا، گروه جغرافیا و سیستم‌های اطلاعات جغرافیایی، دانشکده علوم انسانی دانشگاه گلستان، گرگان، ایران.

سمیه سلمانی - دانشجوی کارشناسی ارشد مخاطرات محیطی، دانشکده علوم انسانی دانشگاه گلستان، گرگان، ایران.

سمیه عmad الدین - استادیار جغرافیا، گروه جغرافیا و سیستم‌های اطلاعات جغرافیایی، دانشکده علوم انسانی دانشگاه گلستان، گرگان، ایران.

تاریخ دریافت: ۱۴۰۱/۹/۲۸ تاریخ تصویب: ۱۴۰۱/۱۱/۱۶

چکیده

نوع و شدت فرسایش خاک در یک منطقه، تابع شرایط اقلیمی، پستی و بلندی زمین، خاک و کاربری اراضی است که در این میان، اهمیت کاربری اراضی به دلیل نقش مؤثر انسان بر آن نسبت به دیگر عوامل زیادتر است. هدف پژوهش حاضر، بررسی روند تغییرات کاربری اراضی / پوشش گیاهی و تأثیر آن بر فرسایش و رسوب، با استفاده از تصاویر ماهواره‌ای سال‌های ۱۳۶۶، ۱۳۸۹ و ۱۳۹۸ و لندست و مدل EPM در حوضه کالآجی استان گلستان است. نقشه کاربری اراضی با استفاده از روش حداکثر احتمال تهیه گردید. برای ارزیابی صحت نتایج، از داده‌های آموزشی استفاده به عمل آمد. سپس مهم‌ترین روش‌های ارزیابی صحت، شامل دقت کل و ضریب کاپای طبقه‌بندی استخراج شد که برای سال‌های ۱۳۶۶، ۱۳۸۹ و ۱۳۹۸ به ترتیب، برای دقت کل ۹۵ و ۹۵ و ضریب کاپا ۰/۹۳، ۰/۹۶ و ۰/۹۳ درصد بود. نقشه‌های پهنه‌بندی شدت فرسایش و رسوب با استفاده از نقشه‌های کاربری اراضی حاصل و عواملی چون شیب، لیتوژئی، خاک و بارش با استفاده از روش EPM انجام شد. نتایج نشان می‌دهد از مهم‌ترین عوامل مؤثر در افزایش فرسایش

Email:s.arekhi@gu.ac.ir

۱ نویسنده مسئول: ۰۹۱۱۳۶۹۰۶۴۸

نحوه ارجاع به این مقاله:

آرخی، صالح؛ سلمانی، سمیه؛ عmad الدین، سمیه؛ ۱۴۰۲. ارزیابی تأثیر تغییرات کاربری اراضی روی فرسایش و رسوب با استفاده از

مدل EPM(مطالعه موردی: حوضه کالآجی استان گلستان). جغرافیا و مخاطرات محیطی. ۱۲(۳). صص ۲۷۳-۳۰۱

<https://doi.org/10.22067/geoeh.2022.74281.1145>

و رسوب در حوضه آبخیز کالآجی از بین رفتن پوشش گیاهی مرتعی و تبدیل آن به اراضی کشاورزی است؛ یعنی با تغییر کاربری بالطبع فرسایش و رسوب نیز افزایش یافته است. توسعه سطوح کاربری اراضی کشاورزی و کاهش سطوح مرتعی در بین سال‌های ۱۳۶۶ تا ۱۳۹۸ به میزان ۱۶/۸۳ درصد نسبت به سال ۱۳۶۶ است. این تغییرات نقش مهم تخریب مرتع و پوشش گیاهی حوضه آبخیز کالآجی در افزایش میزان رسوب خروجی نشان می‌دهد. بر اساس نتایج به دست آمده، مجموع مقادیر رسوب ویژه مربوط به بازه زمانی ۱۳۶۶ (۴۳۵۳ مترمکعب) بوده که این میزان در سال ۱۳۹۸ به ۵۱۶۴ مترمکعب افزایش داشته است که نشان از تغییرات کاربری اراضی رخ داده در حوضه است.

کلیدواژه‌ها: فرسایش و رسوب، پوشش گیاهی / کاربری اراضی، EPM، GIS، کالآجی.

۱- مقدمه

معضل فرسایش با کاهش حاصلخیزی خاک باعث تخریب اکوسیستم‌های طبیعی نظیر جنگل‌ها و مرتع و اکوسیستم‌های کشاورزی می‌گردد. مطالعات متعددی نشان داده که در میان عوامل مسبب فرسایش خاک، کاربری اراضی از اهمیت بیشتری نسبت به سایر عوامل برخوردار است. پوشش گیاهی به عنوان یک عامل کلیدی در تعیین کمیت و کیفیت فرسایش خاک و نیز پاسخ‌های هیدرولوژیکی سطحی زمین است (آدیلیا و همکاران^۱، ۲۰۱۱). نوع و شدت فرسایش عموماً تابع اقلیم، توبوگرافی، خاک و کاربری اراضی است که در این میان تأثیر کاربری اراضی به دلیل نقش انسان بر چرخه طبیعت مهم‌تر از سایر عوامل است. نوع کاربری اراضی به همراه شرایط مدیریت بهره‌برداری از آن به عنوان یکی از عوامل مهم و تأثیرگذار بشری بر روی منابع طبیعی و بخصوص فرسایش خاک به شمار می‌آید؛ بنابراین دانستن اینکه هر کدام از کاربری‌های اراضی چه نقشی در تولید فرسایش و رسوب دارند و با توجه به روند قبلی و شرایط زمین محیطی منطقه، عوامل مؤثر و محرك در تغییر کاربری اراضی کدام هستند، از ابتدایی‌ترین اطلاعات برای مدیران و بهره‌برداران اراضی به شمار می‌آید. با توجه به نقش بهینه کاربری اراضی در توسعه پایدار و کاهش هدر رفت منابع طبیعی، می‌توان گفت که تغییرات کاربری اراضی باعث به هم خوردن چرخه محیط طبیعی می‌گردد. همچنین به‌تبع آن فرسایش خاک در اثر عدم مدیریت صحیح اراضی و کاربری نادرست آن باعث بروز اثرات نامطلوبی بر زندگی اقتصادی- اجتماعی ساکنین حوضه نیز خواهد شد.

در کشور ایران به دلیل عدم توجه به مسئله و قابلیت و تناسب کاربری زمین، بیشتر اراضی به صورت نامناسب و نامعقول استفاده می‌شوند که این استفاده نادرست، به شدت فرسایش و رسوب حوضه‌های آبخیز را افزایش می‌دهد. مطالعات زیادی در زمینه بررسی تغییر کاربری و نقش آن بر روی فرسایش و رسوب صورت گرفته است که بعضی از آن‌ها به شرح زیر است:

شیلبرگ و همکاران^۱ (۲۰۱۶)، به بررسی فرسایش توسط تغییرات استفاده از زمین در کوئینزلند استرالیا پرداختند. در این پژوهش میزان فرسایش آبرفتی و ویژگی سیلاب‌های پیش از آن برای ارزیابی تأثیر تغییر کاربری اراضی زمین در استرالیا را مورد مطالعه قرار گرفته است. در این پژوهش با GPS و عکس‌های هوایی تاریخی در ۱۸ محل در سراسر مگافان، نرخ فرسایش را به دست آورده و به این نتیجه رسیدند که چرایی پیش از حد دام‌ها از پوشش گیاهی و به وجود آمدن رواناب‌ها، اختلالاتی را در منطقه به وجود آورده‌اند که موجب فرسایش خاک‌های منطقه شده است.

پاروسیون و همکاران^۲ (۲۰۱۵)، در مطالعه خود با موضوع روشی برای مدل‌سازی اثرات تغییرات آب‌وهوا و کاربری اراضی در فرسایش و پایداری خاک در حوضه مدیترانه (لانگلوك، فرانسه) به این نتیجه رسیدند که حساسیت شدت فرسایش خاک به تغییرات کاربری اراضی بیشتر از تغییرات اقلیمی است. **یوان و همکاران^۳ (۲۰۱۵)**، در مطالعه خود، رواناب سطحی و بار رسوب تحت کاربری اراضی مختلف در حوضه کوهستانی تای‌هانگ در شمال چین را شبیه‌سازی نمودند. نتایج تحقیق نشان داد که بار رسوب و رواناب در کاربری جنگل و بوته‌زار از همه کاربری‌ها کمتر است. **میلوسکی^۴ (۲۰۰۸)** خطر فرسایش خاک در پایین دست حوضه آبخیز بر جانیکا، در جمهوری مقدونیه را با استفاده از تصاویر ماهواره‌ای، روش EPM و ابزار GIS بررسی نمودند و به این نتیجه رسیدند که GIS ابزاری قدرتمندی برای پیش‌بینی و تخمین خطر احتمالی فرسایش خاک است. **قهرمان‌نژاد و همکارانش (۲۰۱۷)**، در تحقیقی به بررسی تأثیر سناریوهای مختلف مدیریت کاربری اراضی بر میزان فرسایش خاک با مدل USLE در حوضه کلیپرچای پرداختند. نتایج کار آن‌ها نشان داد، با افزایش اراضی دیم‌زار، میزان فرسایش افزایش و با افزایش اراضی پوشش درختی، میزان فرسایش کاهش می‌یابد. **عبدینی و همکاران (۲۰۱۳)** میزان فرسایش و رسوب حوضه آبخیز مشکین‌چای (مشکین‌شهر- اردبیل) را با روش EPM برآورد نمودند. نتایج حاصل از پژوهش نشان داد که سه عامل مهم توپوگرافی، لیتو‌لوزی و تغییرات کاربری اراضی در کترول فرسایش و رسوب نقش مهمی ایفا نموده‌اند. مقدار ضریب شدت فرسایش (Z)، عدد ۲، میانگین رسوب کل ۱۰۱۲۳۷۶۴ مترمکعب در سال، دبی رسوب ویژه ۱۹۳۹۷/۹ و فرسایش ویژه ۲۱۵۵۳/۳ به دست آمد که نشان‌دهنده فرسایش خیلی شدید در منطقه موردمطالعه است. **بیات و همکاران (۲۰۱۲)**، در پژوهشی با استفاده از مدل EPM و به کمک فناوری‌های سنجش از دور و سامانه‌های اطلاعات جغرافیایی و استفاده از تصاویر ماهواره ETM⁺ به منظور تعیین اثر مدیریت کاربری اراضی بر میزان حوضه آبخیز دریاچه ارومیه به ارزیابی پرداختند. **تاجیک (۲۰۰۷)** اثر اقدامات آبخیزداری را بر روی سیل خیزی و رسوب‌دهی حوضه آبخیز رامیان را بررسی نمود. در بخشی از تحقیق خود با مقایسه نتایج مدل EPM با روش هیدرولوزیکی، برآورد بار معلق حد وسط دسته‌های دبی روزانه دریافت، دقت مدل EPM در این حوضه بالغ بر ۹۹/۲ درصد است.

¹ Shellberg² Paroissien³ Yuan⁴ Milevski

نبی‌پی لشکریان (۲۰۰۰) به بررسی اثر تغییر کاربری اراضی در میزان فرسایش و رسوب نمود. وی به روش‌های MPSIAC و EPM اقدام به مقایسه رسوب‌دهی حوضه در شرایط کاربری اراضی فعلی و آتی (متناسب با استعداد) اراضی نمود. نتایج حاصل از این دو روش نشان داد که در صورت اصلاح و احیای پوشش گیاهی و استفاده از اراضی بر اساس استعدادشان، فرسایش ویژه در روش MPSIAC به میزان ۹/۲۳ درصد و در روش EPM به میزان ۲۲/۹۸ درصد کاهش خواهد یافت.

اسفندیاری و همکاران (۲۰۱۴) در مطالعه‌ای در حوضه رود ورس قزوین، به بررسی تأثیر تغییر کاربری اراضی بر فرسایش پرداختند و به این نتیجه رسیدند که کاربری زراعی از بیشترین و مراتع از کمترین پتانسیل برای فرسایش برخوردار بودند. **مرادی و همکاران (۲۰۱۶)** نیز به ارزیابی تغییر کاربری اراضی مرتتعی به دیمزار در دو شهرستان رابر و ارزوئیه پرداختند. نتایج نشان داد گسترش فعالیت‌های زراعی سبب می‌شود مراتع به زمین‌های کم بازده تبدیل شود. **فیضی‌زاده (۲۰۱۷)**، تغییرات کاربری اراضی و نقش آن در فرسایش حوضه علیان را بررسی کردند. آن‌ها دریافتند که تبدیل اراضی مرتتعی پر تراکم به مراتع کم تراکم و زراعت دیم، مهم‌ترین عامل در فرسایش منطقه است. **اصغری سراسکانرود و همکاران (۲۰۱۷)** نیز به بررسی روند تغییرات کاربری اراضی شهرستان نیر و تأثیر آن بر فرسایش منطقه پرداختند. آن‌ها به این نتیجه رسیدند که به ترتیب ۱۲/۵۴ و ۲۶/۵۱ درصد از مساحت شهرستان، در دو طبقه بسیار پرخطر و پرخطر قرار دارد. به طور عمده مناطق با طبقه بسیار پرخطر و پرخطر در هر دو دوره زمانی، در کاربری‌های زراعت دیم و زراعت آبی-باغات قرار دارند.

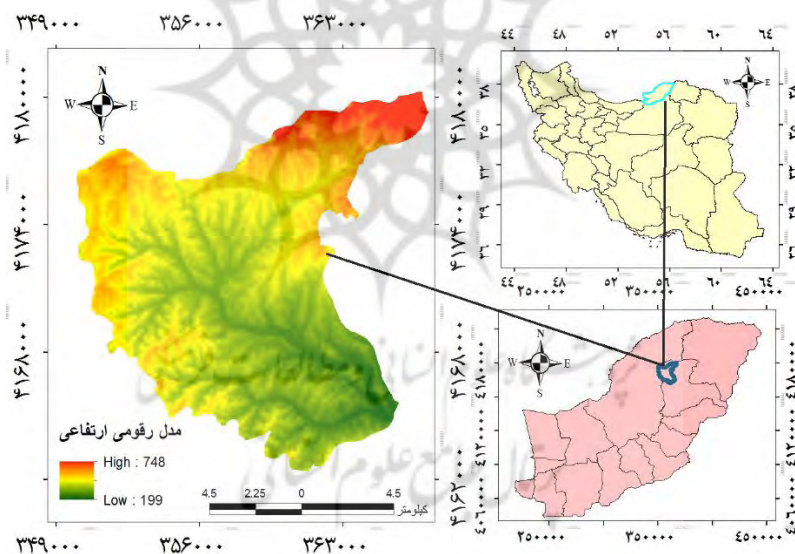
دادرسی سیز وار (۱۳۸۴) اثر تغییرات عمق و شیب بر میزان تولید رسوب را مورد بررسی قرار داد و نتیجه‌گیری کرد که رابطه مستقیمی بین میزان تولید سالانه با زاویه و طول شیب و رابطه عکس با عمق خاک وجود دارد. نتایج مطالعات **باتنی و گریسمر^۱ (۲۰۰۰)** نشان داد افزایش درصد شیب بین ۴ الی ۱۶ درصد، تأثیر مثبت و معنی‌داری بر روی میزان هدررفت خاک دارد.

حوضه آبخیز کالآجی به عنوان یکی از زیرحوضه‌های گرگانزود در طی سالیان گذشته فرسایش شدیدی را متحمل شده است. این فرسایش به دلایل مختلفی رخ داده که یکی از آن‌ها تغییرات در کاربری زمین و ضعف مدیریت منابع آب و خاک است. هدف از این مطالعه برآورد تغییرات حاصل شده در فرسایش خاک و رسوب حوضه آبخیز کالآجی در یک بازه زمانی ۳۲ ساله و بررسی نقش کاربری اراضی و پوشش زمین در میزان فرسایش و رسوب با استفاده از مدل EPM است. برای سنجش تغییرات کاربری زمین از مقایسه تغییرات طبقه‌بندی تصاویر لندست برای سال‌های ۱۳۶۶، ۱۳۸۹ و ۱۳۹۸ استفاده گردید.

۲- مواد و روش‌ها

۱-۲- موقعیت منطقه مورد مطالعه

حوضه آبخیز کالآجی با مساحت ۱۷۰۹۹ هکتار، ۰/۸۳ درصد مساحت استان و ۱/۴۷ درصد مساحت حوضه آبخیز گرگان‌رود گلستان را به خود اختصاص داده است. این حوضه در محدوده طول شرقی ۵۵ درجه و ۱۸ دقیقه و ۰۴ ثانیه تا ۵۵ درجه و ۲۹ دقیقه و ۳۲ ثانیه و عرض شمالی ۳۷ درجه و ۳۵ دقیقه و ۴۴ ثانیه تا ۳۷ درجه و ۴۵ دقیقه و ۷ ثانیه تقریباً در شمال شهر کالله، واقع در شرق استان گلستان است. این حوضه در سرشاخه گرگان‌رود قرار داشته و از مناطق سیل خیز منطقه است. بلندترین نقطه حوضه ۷۶۴ متر است که در شمال شرقی حوضه واقع شده است و کمترین ارتفاع آن مربوط به خروجی حوضه است که حدود ۲۲۰ متر ارتفاع دارد و بارش متوسط آن ۴۲۵ میلی‌متر و دمای متوسط سالانه ۱۶۷۴۴ درجه سانتی‌گراد دارای اقلیم نیمه‌خشک است. بیشترین بارش متوسط کل حوضه مربوط به ماه اسفند با ۶۰/۱۱ میلی‌متر و کمترین آن به ماه تیر با ۱۲/۴۴ میلی‌متر است. **شکل شماره ۱** نشان دهنده موقعیت محدوده مورد مطالعه در تقسیمات سیاسی استان گلستان است.



شکل ۱- موقعیت حوضه آبخیز کالآجی در تقسیمات سیاسی کشور

۲-۲- روش تحقیق

در این تحقیق پس از به دست آوردن اطلاعات و جمع‌آوری آمار مربوط به منطقه، شامل نقشه توپوگرافی، اطلاعات هواشناسی، زمین‌شناسی، خاک‌شناسی و اطلاعات مربوط به کاربری اراضی و پوشش گیاهی حاصل از

تجزیه و پردازش و اعمال تصحیحات لازم بر روی تصاویر ماهواره‌های: ۱- لندست ۵ سنجنده TM به تاریخ ۱۳۹۸/۴/۱۵؛ ۲- لندست ۷ سنجنده ETM⁺ به تاریخ ۱۳۸۹/۴/۳۰؛ ۳- لندست ۸ سنجنده OLI به تاریخ ۱۳۹۸/۴/۲۵، اقدام به تولید لایه‌های رستری عامل‌های دخیل در فرسایش و رسوب، مربوط به مدل EPM در محیط GIS شد. در این روش چهار مشخصه شامل ضریب فرسایش حوضه آبخیز (Ψ)، ضریب کاربری اراضی (X_a)، ضریب حساسیت سنجنده که فرسایش (Y) و شیب حوضه (I) موردنرسی قرار گرفت. نقشه زمین‌شناسی حوضه مورد مطالعه، با مقیاس ۱:۱۰۰۰۰۰ از سازمان زمین‌شناسی و اکتشافات معدنی کشور تهیه شده است. همچنین، آمار مربوط به ایستگاه‌های هواشناسی منطقه در دوره آماری ۳۲ سال آبی ۱۳۶۶ تا ۱۳۹۸، از بایگانی و آمارهای شرکت منابع آب ایران و گزارش تلفیق مطالعات منابع آب گرگانزود استخراج گردید.

۱-۲-۲- پردازش تصاویر ماهواره‌ای

امروزه رایج‌ترین روش برای تهیه نقشه کاربری اراضی و پوشش گیاهی، استفاده از فن‌آوری سنجش از دور است (قوشه و همکاران^۱، ۲۰۱۳). تصاویر موردانستفاده مربوط به ماهواره لندست و سنجنده‌های OLI و ETM⁺، TM می‌باشد که بعد از اعمال تصحیحات هندسی و رادیومتریک در تصاویر و انتخاب باندهای مناسب برای هر تصویر، طبقه‌بندی و استخراج لایه‌های کاربری از تصاویر مربوط به سه دوره انجام پذیرفته و در آخر برای ارزیابی صحت لایه‌های تهیه شده، از دو روش دقت کل و ضریب کاپا استفاده شده است.

۲-۲-۲- تصحیح هندسی و رادیومتریک

در این مطالعه، به منظور تصحیح هندسی، از نقشه‌های توپوگرافی با مقیاس ۱:۵۰۰۰۰ تهیه شده از سازمان جغرافیایی ارتش استفاده گردید. در این مرحله با استفاده از نرم‌افزار ENVI5.3 اقدام به اعمال تصحیح‌های هندسی بر روی تصاویر شد و تصویر سنجنده OLI سال ۱۳۹۸ با استفاده از روش تصویر-وکتور، زمین مرجع شد. برای این کار از ۳۹ نقطه کنترل زمینی با پراکنش مناسب و در تقاطع جاده‌ها، آبراهه‌ها و ... استفاده گردید، تا مدل ریاضی که برای پیدا کردن ضرایب مجهول در معادله موردانستفاده قرار می‌گیرد، خطای کمتری داشته باشد. برای تبدیل مختصات تصویر تصحیح شده به تصویر تصحیح نشده، از تابع درجه اول استفاده گردید و برای نمونه‌گیری مجدد ارزش پیکسل‌های تصویر تصحیح نشده از روش نزدیک‌ترین همسایه استفاده و درنهایت سنجنده OLI با خطای RMSE معادل ۰/۳۱ زمین مرجع گردید. تصحیح هندسی تصویر TM سال ۱۳۶۶ و ETM⁺ سال ۱۳۸۹ به روش تصویر به تصویر انجام شد. بدین منظور تصویر ۱۳۹۸ بعد از تصحیح هندسی به عنوان مبنا در نظر گرفته شد. ابتدا نقاط کنترل انتخاب شدند، سپس نقاطی که دارای خطای زیادی بودند از جدول مربوطه حذف شدند و درنهایت با حذف ۸ و ۱۰ نقطه کنترل زمینی، تصویر TM با ۳۸ و تصویر⁺ ETM با ۳۵ نقطه کنترل با خطای معادل ۰/۳۰ و ۰/۳۵ تصحیح شد.

بهمنظور تعیین تغییرات علاوه بر هم مختصات بودن تصاویر، باید بعد پیکسل‌های آن‌ها نیز یکسان که در این تحقیق اندازه همه پیکسل‌ها ۲۸۵ متر است.

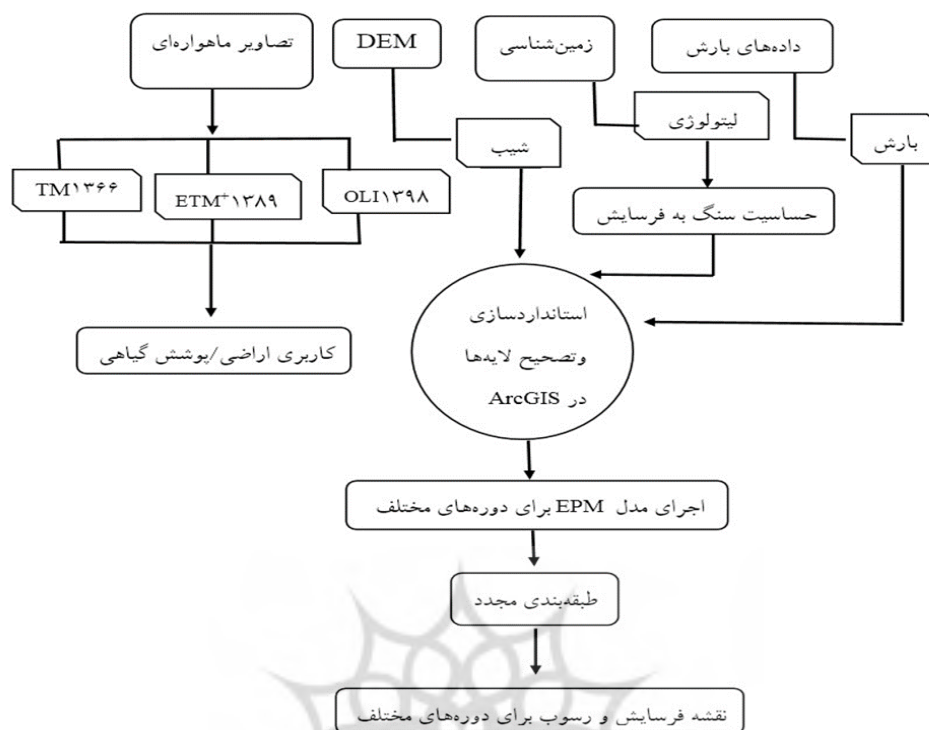
در ضمن، تصحیح رادیومتریک زمانی انجام می‌گیرد که از تصاویر چند زمانه یعنی تصاویری که مربوط به فصول یا سال‌های مختلف و یا سنجنده‌های مختلف هستند، استفاده شود. دو نوع تصحیح رادیومتریک وجود دارد، تصحیح رادیومتریک مطلق و تصحیح رادیومتریک نسبی. روش تصحیح رادیومتریک مطلق نیازمند ورود داده‌های مربوط به خصوصیات اتمسفریک و کالیبراسیون سنجنده است. انجام این تصحیح در اغلب موارد و بهخصوص برای داده‌های قدیمی کار بسیار سختی است (دیو و همکاران^۱، ۲۰۰۲). در مقابل تصحیحات رادیومتریک نسبی با هدف کاهش متغیرهای اتمسفریک و غیرمنتظره در میان تصاویر چندزمانه صورت می‌گیرد. یکی از روش‌های تصحیح رادیومتریک نسبی، کاهش تیرگی پدیده^۲ است. در حالت ایده‌آل پدیده‌های تیره‌رنگ دارای تابش صفر در همه طول موج‌ها هستند. در این روش فرض می‌شود که در هر باند از تصویر می‌توان پیکسل‌هایی یافت که مقادیر آن‌ها صفر یا نزدیک به یک است (مثل آب). به این ترتیب اثر اتمسفری تابش انحرافی به صورت یک مقدار ثابت به پیکسل‌ها در هر باند اضافه می‌گردد. به همین دلیل جهت حذف خطای رادیومتریک بایستی ارزش پیکسل‌های هر باند از حداقل DN مربوط به هر باند کم شود. کاهش تیرگی پدیده یک روش ساده است که به طور گسترده در بسیاری از موارد به کار گرفته می‌شود (چاوز و مکنون^۳، ۱۹۹۴). در این مطالعه از این روش جهت تصحیح رادیومتریک تصاویر ذکر شده در بالا استفاده شده است. [شکل ۲](#) مراحل مفهومی تحقیق را نمایش می‌دهد.

پژوهشگاه علوم انسانی و مطالعات فرهنگی پرستال جامع علوم انسانی

1 Du et al

2 Dark Object Subtraction

3 Chavez and Mackinnon



شکل ۲- فلوچارت مراحل انجام کار

۳-۲-۲- بررسی میزان فرسایش و رسوب با استفاده از مدل EPM

آگاهی از وضعیت فرسایش و تولید رسوب در حوضه‌های آبخیز نیاز به مطالعه و بررسی عوامل مؤثر در این فرآیند پیچیده دارد. به دلیل پیچیدگی این فرایندها و کمبود آمار مناسب و فقدان ایستگاه‌های اندازه‌گیری رسوب در کشور، چنین مطالعاتی با استفاده از روش‌ها و مدل‌هایی که در سایر کشورها توسعه یافته‌اند، انجام می‌گیرد. در این تحقیق برای برآورد شدت فرسایش و تولید رسوب حوضه آبخیز موردمطالعه از روش EPM و تکنیک‌های RS و GIS استفاده شده است. بعد از وارد کردن نقشه‌ها به محیط نرم‌افزار ARCGIS و زمین مرجع کردن آن‌ها، لایه‌های موردنیاز رقومی و پایگاه اطلاعاتی برای آن‌ها ایجاد شد. با استفاده از مدل EPM، عوامل مؤثر در فرسایش در زیر‌حوضه‌ها ارزیابی و امتیازبندی شد. در این روش که در حقیقت ضریب شدت فرسایش است، چهار عامل ضریب شدت فرسایش حوضه آبخیز (Ψ)، ضریب کاربری اراضی (X_a)، ضریب حساسیت سنگ و خاک به فرسایش (Y) و شیب متوسط حوضه آبخیز (I) در زیر‌حوضه‌های مختلف و درنهایت در کل حوضه آبخیز موردمطالعه قرار گرفت. در هر یک از این زیر‌حوضه‌ها بر اساس چهار عامل، مقدار Z یا ضریب شدت فرسایش، متوسط سالانه رسوب ویژه (میزان رسوب تولید شده در واحد سطح) و مقدار رسوب تولید شده در طول سال در سطح زیر‌حوضه‌ها و بالاخره در کل حوضه محاسبه گردیده است.

برای سهولت و دقت کار در به دست آوردن میزان فرسایش و تولید رسوب، ابتدا کل حوضه آبخیز کالآجی به ۷ زیرحوضه تقسیم شد. سپس عوامل مؤثر در تولید رسوب در هر یک از زیرحوضه‌ها مورد مطالعه قرار گرفت. در مرحله بعد میزان فرسایش و تولید رسوب با استفاده از فرمول‌ها و ضرایب مربوطه به دست آمد که در زیر به بررسی هر یک از عوامل چهارگانه خواهیم پرداخت.

۱-۳-۲-۲- تعیین ضریب استفاده از زمین یا ضریب کاربری زمین (Xa)

بعد از انتخاب ترکیب باندهای مناسب برای هر دوره (TM432¹ و ETM²432)، برای تهیه نقشه کاربری اراضی نیاز به نمونه‌های تعلیمی از منطقه مطالعاتی است. نمونه‌های تعلیمی از طریق تفسیر بر روی تصاویر ماهواره‌ای و از روش ROI¹ در محیط نرم‌افزار ENVI به دست می‌آید. نمونه‌های اخذ شده از تصاویر، معرف طبقات کاربری اراضی است که در فرایند پردازش تصاویر به عنوان پیکسل‌های آموزشی عمل می‌کنند. با توجه به اطلاعات جمع‌آوری شده و نمونه‌های آموزشی، نقشه‌های کاربری اراضی برای منطقه مورد مطالعه به کمک طبقه‌بندی نظارت شده با روش بیشترین احتمال، تهیه شده است.

روش طبقه‌بندی حداقل احتمال هنوز هم یکی از رایج‌ترین روش‌های طبقه‌بندی تصویر است (بولستد و لیسنده^۲). در این روش، طبقه‌بندی براساس واریانس و کوواریانس انجام می‌شود. در روش مذکور فرض بر این است که همهٔ مناطق آموزشی دارای پراکنش نرمال هستند. در حقیقت نمونه‌های کلاس‌های آموزشی باید معرف آن کلاس باشند، بنابراین تا حد امکان باید از تعداد نمونه‌های بیشتری استفاده شود تا تغییرات بسیاری از ویژگی‌های طیفی در این گسترهٔ پیوسته قرار گیرد. در طبقه‌بندی حداقل احتمال، پیکسل موردنظر به کلاسی نسبت داده می‌شود که بیشترین احتمال تعلق پیکسل به آن کلاس وجود دارد (علوی پناه و احسانی، ۲۰۰۳).

امتیاز ضریب استفاده از زمین بین ۰/۱ تا ۰/۲۵ متغیر است. با استفاده از نقشه کاربری اراضی تولید شده برای سال‌های موردمطالعه و شرایط استفاده از زمین برای هر یک از کاربری‌ها، امتیازی اختصاص داده می‌شود و سپس با استفاده از مساحت اشغال شده توسط هر کاربری در هر زیرحوضه، میزان متوسط وزنی ضریب استفاده از زمین در هر زیرحوضه محاسبه گردید.

۱-۳-۲-۲-۳- ضریب حساسیت سنگ و خاک نسبت به فرسایش (Y)

امتیاز این عامل بین ۰/۰ تا ۰/۲۵ متغیر است و بسته به مقاومت سنگ در مقابل فرسایش درجات مختلف به آن تعلق می‌گیرد. بدین ترتیب میزان امتیاز ضریب حساسیت خاک نسبت به فرسایش هر یک از سازندهای موجود در سطح حوضه از طریق جداول مربوطه تعیین گردید و سپس با توجه به وزن فرسایشی هر سازند و مساحت اشغال شده

1 Region of Interest

2 Bolstad and Lillesand

توسط آن در هر زیرحوضه، میزان متوسط وزنی ضریب حساسیت خاک نسبت به فرسایش در هر زیرحوضه محاسبه گردید.

۳-۳-۲-۲- ضریب فرسایش حوضه (Ψ)

امتیاز این عامل بین ۰/۱ تا ۱ متغیر است. این عامل در اصل وضعیت فعلی فرسایش را در سطح حوضه نشان می‌دهد. با استفاده از نقشه کاربری اراضی تولید شده برای سال‌های موردمطالعه و ویژگی‌های فرسایش هر کاربری، به هر یک از کاربری‌ها امتیازی اختصاص داده شده و سپس با استفاده از مساحت اشغال شده توسط هر کاربری هر زیرحوضه، میزان متوسط وزنی ضریب فرسایش در هر زیرحوضه محاسبه شد.

۴-۳-۲-۲- تعیین شب متوسط حوضه (I)

در این مطالعه، جهت استخراج پارامتر شب، از نقشه مدل رقومی ارتفاع در محیط نرم‌افزار ArcGIS، نقشه در صد متوسط شب استخراج گردید.

با توجه به چهار فاکتور محاسبه شده در مرحله قبل، مقدار Z یا ضریب شدت فرسایش برای هر یک از زیرحوضه‌ها و درنهایت کل حوضه آبخیز با استفاده از رابطه ۱ محاسبه گردید.

$$Z = X_a \cdot Y(\Psi + I^{1/2}) \quad \text{رابطه ۱}$$

در روش EPM برای تخمین متوسط سالانه فرسایش ویژه که در حقیقت میزان فرسایش را در واحد سطح هکتار یا کیلومترمربع) حوضه را نشان می‌دهد، از رابطه ۲ محاسبه می‌شود.

$$W_{sp} = T \cdot H \cdot Z^{1.5} \cdot P_i \quad \text{رابطه ۲}$$

که در آن W_{sp} : مقدار فرسایش بر حسب مترمکعب در سال در کیلومترمربع، H متوسط بارندگی سالیانه حوضه بر حسب میلی‌متر، Z شدت فرسایش، P_i = عدد ثابت پی معادل ۱/۱۴ و T : ضریب درجه حرارت که از رابطه ۳، به دست می‌آید (احمدی، ۲۰۰۷).

$$T = (t/10 + 0.1)^{0.5} \quad \text{رابطه ۳}$$

در این رابطه (t) متوسط درجه حرارت سالیانه حوضه بر حسب درجه سانتی‌گراد است.

مقدار W_{sp} محاسبه شده در رابطه ۲، بیان‌کننده مقدار خاکی است که از بستر خود جدا شده و انتقال یافته است، اما همه این مواد فرسایش یافته به خروجی حوضه نمی‌رسد و آن مقدار خاک فرسایش یافته که به رسوب خروجی تبدیل خواهد شد، بستگی به متغیرهای مختلفی دارد که درواقع بر ضریب رسوب‌دهی حوضه تأثیر می‌گذارد (قنبزاده و غلامرضایی، ۲۰۰۷).

مقدار رسوب ویژه حوضه آبخیز از طریق رابطه ۴، به دست می‌آید، که در آن G_{sp} : رسوب ویژه بر حسب مترمکعب در سال در کیلومترمربع، W_{sp} : فرسایش ویژه بر حسب مترمکعب در سال در کیلومترمربع و R_u : ضریب

رسوب‌دهی حوضه آبخیز است. ضریب رسوب‌دهی حوضه یا ضریب نگهداشت مواد فرسایش یافته معین می‌نماید که چه میزان مواد رسوبی از نقطه خروجی خارج می‌شود و مقدار آن از طریق رابطه ۵، حاصل می‌شود. در این رابطه L طول حوضه به کیلومتر، P : محیط حوضه به کیلومتر و D اختلاف ارتفاع بر حسب کیلومتر که از رابطه ۶، به دست می‌آید (رفیعی، ۲۰۰۹).

$$G_{sp} = W_{sp} \cdot R_u \quad \text{رابطه ۴}$$

$$R_u = 4(P * D)^{0.5} / L + 10 \quad \text{رابطه ۵}$$

$$D = D_{av} - D_0 \quad \text{رابطه ۶}$$

در رابطه ۶، D_{av} : ارتفاع متوسط حوضه آبخیز و D_0 : ارتفاع نقطه خروجی رودخانه است. مقدار رسوب کل حوضه از رابطه ۷، به دست می‌آید (احمدی، ۷): (۲۰۰۷)

$$G_s = G_{sp} \cdot A \quad \text{رابطه ۷}$$

که در آن: G_s رسوب کل بر حسب مترمکعب در سال در کیلومترمربع، G_{sp} رسوب ویژه بر حسب مترمکعب در سال در کیلومترمربع و A مساحت حوضه آبخیز بر حسب کیلومترمربع است.

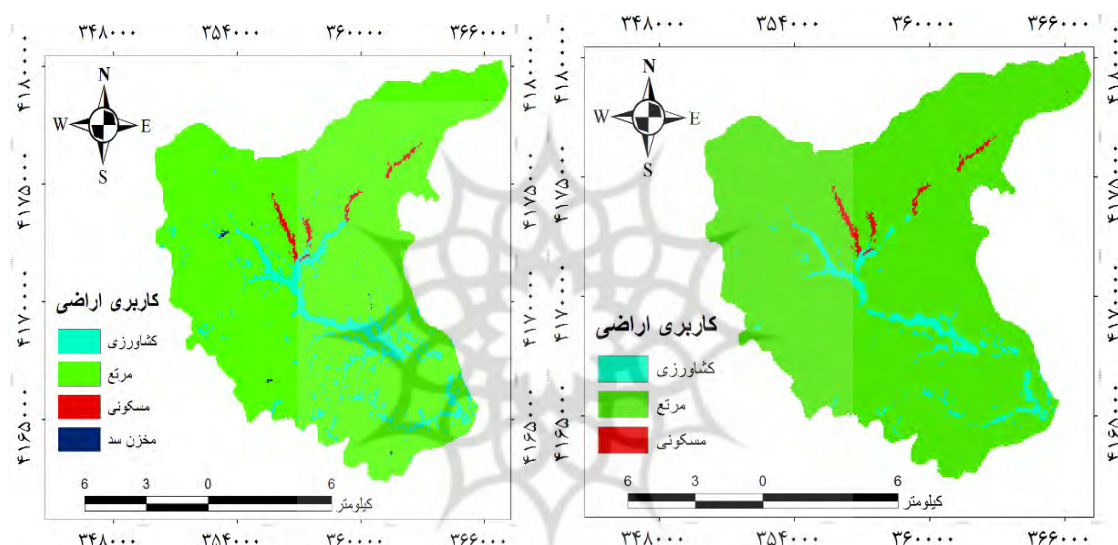
۳- نتایج و بحث

پس از تهیه تصاویر ماهواره‌ای با استفاده از نقاط کنترل زمینی، تصاویر با خطای حدود ۰/۳۲ زمین مرتع گردید تائید قرار گرفت. همچنین برای تصحیح رادیومتریک از روش تصحیح رادیومتریک نسبی استفاده گردید. این روش برای کاهش اثرات پخش اتمسفریک بر روی تصویر است. در ضمن، تعداد پوشش/ کاربری اراضی با توجه به تصاویر و نقشه‌های کاربری موجود و شرایط منطقه مورد مطالعه و بازدید میدانی برای تهیه نقشه پوشش زمین به چهار کلاس تقسیم شده است که عبارتند از: مرتع، کشاورزی، مسکونی و پنهانه‌های آبی.

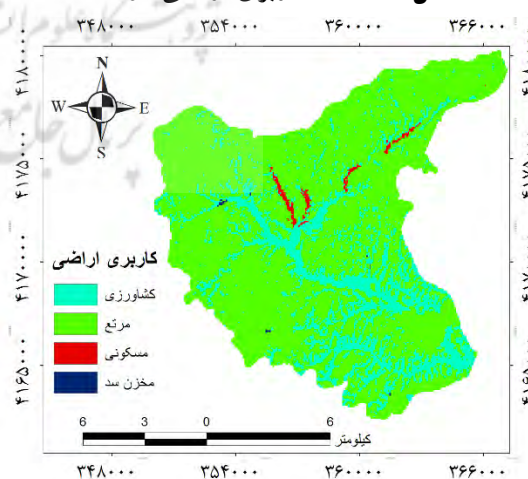
پس از طبقه‌بندی کاربری‌های اراضی، به ارزیابی صحت پرداخته شد. برای ارزیابی صحت طبقه‌بندی، انتخاب یک سری پیکسل‌های نمونه معلوم و مقایسه کلاس آنها با نتایج طبقه‌بندی لازم است. بدین جهت تصاویر طبقه‌بندی شده با نمونه‌های زمینی تهیه شده به نرم‌افزار ENVI انتقال یافته و میزان دقت کاربری‌ها (دقت کل و ضریب کاپا) به دست آمد. دقت کل در نقشه‌های طبقه‌بندی شده سال‌های ۱۳۶۶، ۱۳۸۹ و ۱۳۹۸ و به ترتیب ۹۵، ۹۵ و ۹۸ درصد بود. با توجه به نتایج حاصل از ارزیابی دقت در سه دوره مورد مطالعه، میزان تطابق نمونه‌ها با واقعیت زمینی بسیار بالاست.

۳-۱- انواع کاربری اراضی و میزان تغییرات آنها

در شکل های ۳ تا ۵ نقشه های کاربری اراضی سال های ۱۳۶۶، ۱۳۸۹ و ۱۳۹۸ به ترتیب نشان داده شده است. در ادامه نقشه های کاربری اراضی مربوط به سال های ۱۳۶۶، ۱۳۸۹ و ۱۳۹۸ ارائه شده است. همچنین در [جدول ۱](#) نمودار درصد تغییرات طبقات پوشش زمین مرتع، کشاورزی، مسکونی و پهنه های آبی نشان داده شده است. چنانچه در [شکل ۶](#) مشاهده می شود، در تمام سال های مورد مطالعه، بیشترین طبقه پوشش زمین مربوط به مرتع و کمترین آن مربوط به کاربری کشاورزی، مسکونی و پهنه های آبی است. همچنین در [شکل ۶](#) مشاهده می شود، در تمام دوره های مورد مطالعه روند تغییرات مرتع به صورت کاهشی ولی روند تغییرات کشاورزی به صورت افزایشی بوده است.



شکل ۶- نمودار تغییرات مساحت کاربری اراضی در بازه زمانی بین ۱۳۶۶ تا ۱۳۹۸



شکل ۵- نقشه کاربری اراضی در سال ۱۳۹۸

جدول ۱- مساحت کاربری‌های اراضی در سال‌های مختلف

سال ۱۳۹۸		سال ۱۳۸۹		سال ۱۳۶۶		کاربری سال
درصد	هکتار	درصد	هکتار	درصد	هکتار	
۲۱/۰۲	۳۵۹۳/۲۹	۷/۲۱	۱۲۲۲/۲۷	۴/۱۹	۷۱۷/۱۳	کشاورزی
۷۷/۱۲	۱۳۳۵۷/۳۶	۹۱/۹۴	۱۵۷۲۱/۸۶	۹۵/۰۴	۱۶۲۵۱/۳۵	مرتع
۰/۷۸	۱۳۳/۶۳	۰/۷۷	۱۳۲/۲۰	۰/۷۷	۱۳۱/۶۳	مسکونی
۰/۰۸	۱۴/۱۸	۰/۰۸	۱۴/۱۸	۰	۰	پنهان آبی

مع الوصف بر اساس نتایج حاصل از این تحقیق، تغییرات انواع کاربری اراضی طی بازه‌های زمانی ۱۳۶۶ و ۱۳۸۹ و ۱۳۹۸ به شرح زیر است:

۱-۱-۳- اراضی با کاربری کشاورزی

سطح این اراضی در فاصله زمانی بین ۱۳۶۶ تا ۱۳۹۸ به میزان ۱۶۷۸۳ درصد افزایش داشته است. بر اساس نتایج به دست آمده مشخص گردید سطح این اراضی ۷۱۷/۱۳ هکتار (۴/۱۹ درصد) در سال ۱۳۶۶ به ۱۲۳۲/۲۷ هکتار (۷/۲۱ درصد) در سال ۱۳۸۹ و ۳۵۹۳/۲۹ هکتار (۲۱/۰۲ درصد) در سال ۱۳۹۸ افزایش داشته است. از علل مهم افزایش وسعت این نوع کاربری می‌توان به پدیده مهاجرت و ازدیاد جمعیت در سال‌های اخیر و متعاقب آن تبدیل مراتع و اراضی فاقد کاربری به باغات و اراضی کشاورزی اشاره نمود.

۱-۲-۳- اراضی با کاربری مرتع

سطح این اراضی در فاصله زمانی بین ۱۳۶۶ تا ۱۳۹۸ به میزان ۱۶۷۹۲ درصد کاهش داشته است. بر اساس نتایج به دست آمده مشخص گردید سطح این اراضی ۱۶۲۵۱/۳۵ هکتار (۹۵/۰۴ درصد) در سال ۱۳۶۶ به ۱۵۷۲۱/۸۶ هکتار (۹۱/۹۴ درصد) در سال ۱۳۸۹ و ۱۳۳۵۷/۳۶ هکتار (۷۷/۱۲ درصد) در سال ۱۳۹۸ کاهش داشته است. دلیل این کاهش، تبدیل اراضی مرتعی به باغات و اراضی کشاورزی در طی سالیان ۱۳۶۶ تا ۱۳۹۸ بوده است که خود از پیامدهای افزایش جمعیت در سال‌های اخیر است.

۱-۳-۱-۳- اراضی با کاربری مسکونی

سطح این اراضی در فاصله زمانی بین ۱۳۶۶ تا ۱۳۹۸ به میزان ۱ درصد افزایش داشته است. بر اساس نتایج به دست آمده مشخص گردید سطح این اراضی ۱۳۱/۶۳ هکتار (۰/۷۷ درصد) در سال ۱۳۶۶ به ۱۳۲/۲۰ هکتار (۰/۰۸ درصد) در سال ۱۳۸۹ و ۱۳۳/۶۳ هکتار (۰/۷۸ درصد) در سال ۱۳۹۸ افزایش یافته است.

۳-۴- اراضی با پهنه آبی

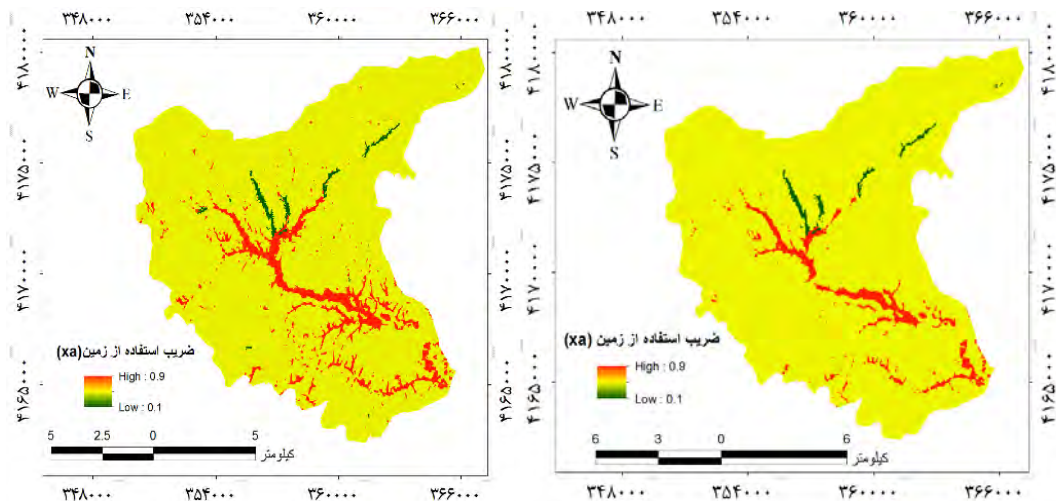
سطح این اراضی در فاصله زمانی بین ۱۳۸۹ تا ۱۳۹۸ هیچ‌گونه تغییری نیافته است. نتیجه حاصل از بررسی نقشه‌های کاربری اراضی مربوط به بازه زمانی ۱۳۶۶ تا ۱۳۹۸ نشانگر تغییراتی در مساحت انواع کاربری‌ها است. از جمله دلایل کاهش سطح مرتع می‌توان افزایش روزافزون جمعیت که موجب تغییر کاربری مرتعی و تبدیل آن به زمین‌های زراعتی، مناطق مسکونی و ... شده است. البته عوامل طبیعی دیگری نظیر عوامل اقلیمی مانند سرمای زودرس، خشکسالی و عوامل بیولوژیک مانند طغیان آفات نیز در تخریب مرتع حوضه نقش بسزایی دارد؛ اما کاهش سطح مرتع حوضه را می‌توان به دلیل استفاده بی‌رویه دامداران جهت تعییف احشام خود دانست؛ بنابراین با استفاده از تصاویر ماهواره‌ای می‌توان تا حدودی از وضعیت کاربری‌ها پیشین آگاه شد و این توانایی را به محقق می‌دهد که بتولید با تعیین کاربری‌ها و مقایسه با کاربری‌های فعلی تا لذتازهای از تغییرات مساحت‌ها و نقش این تغییرات در افزایش فرسایش و رسوب و حتی مشکلات عدیده‌ای نظیر سیل و ... مطلع شد.

۲-۳- مقادیر ضریب استفاده از زمین یا ضریب کاربری زمین (Xa)

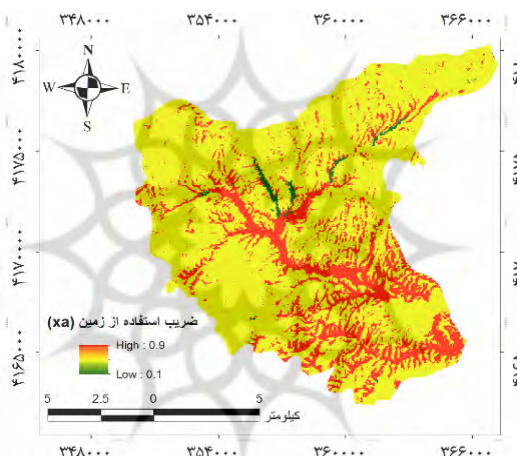
مطالعه کاربری اراضی حوضه کال آجی نشان می‌دهد، حوضه موردمطالعه از ۴ کاربری تشکیل شده است که در جدول ۲ انواع مختلف کاربری و در شکل‌های ۷، ۸ و ۹ ضرایب مربوط به هر نوع کاربری در سال‌های ۱۳۶۶، ۱۳۸۹ و ۱۳۹۸ و در جدول ۳ ضرایب مربوط به هر نوع کاربری در زیر حوضه‌های مختلف نشان داده شده است. کاربری اراضی به عنوان یکی از فاکتورهای اصلی فرسایش خاک محسوب می‌شود و با توجه به نقشه کاربری اراضی درصد خیلی زیادی از مساحت حوضه به کاربری مرتع و کشاورزی اختصاص داده شده است که امتیاز حاصله در جدول ذیل نشان داده شده است.

جدول ۲- انواع مختلف کاربری در حوضه و ضرایب استفاده از زمین

شماره	نوع کاربری	ضریب استفاده از زمین (Xa)
۱	مسکونی	۰/۱
۲	کشاورزی	۰/۹
۳	مرتع	۰/۵
۴	سطوح آبی	۰/۱



شکل ۷- نقشه ضریب استفاده از زمین در سال ۱۳۶۶ ۸- نقشه ضریب استفاده از زمین در سال ۱۳۸۹



شکل ۹- نقشه ضریب استفاده از زمین در سال ۱۳۹۸

جدول ۳- مقدادیر ضریب استفاده از زمین (X_a) در هر یک از زیرحوضه‌های حوضه آبخیز کالآجی

میزان تغییرات	۱۳۹۸Xa-	-۱۳۸۹Xa	۱۳۶۶Xa-	زیر حوضه‌های آبخیز
۰/۱	۰/۶۱	۰/۰۲	۰/۰۱	۱
۰/۴	۰/۵۵	۰/۰۲	۰/۰۱	۲
۰/۹	۰/۶۳	۰/۰۶	۰/۰۴	۳
۰/۵	۰/۵۶	۰/۰۱	۰/۰۱	۴
۰/۳	۰/۵۱	۰/۴۹	۰/۴۸	۵
۰/۴	۰/۵۲	۰/۴۸	۰/۴۸	۶
۰/۴	۰/۵۳	۰/۰۰	۰/۴۹	۷

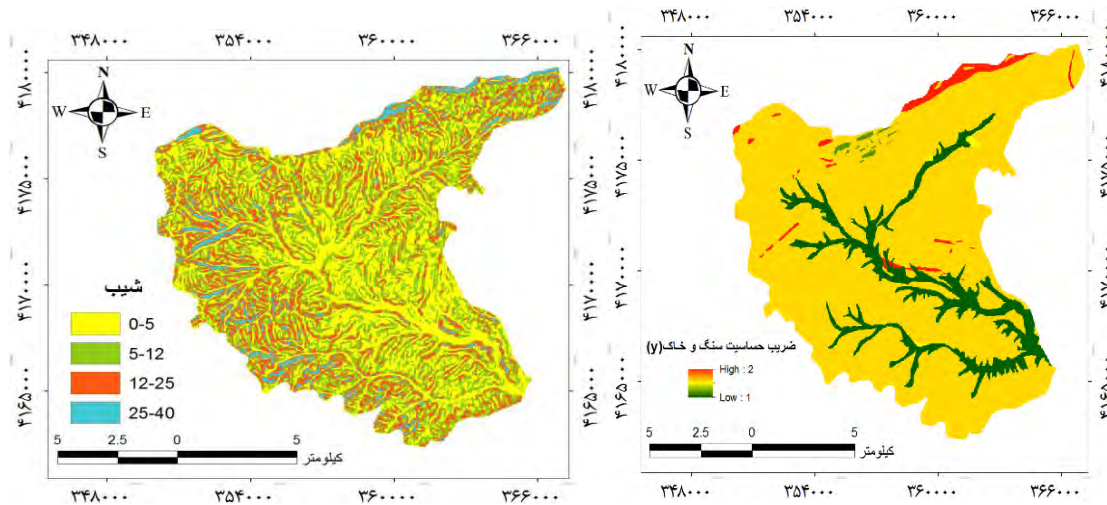
بر اساس جدول شماره ۳ می‌توان نتیجه گرفت مقدار ضریب استفاده از زمین در مجموع در همه زیرحوضه‌ها افزایشی بوده و در ضمن در زیرحوضه شماره ۱ مقدار آن حداقل (۰/۱) و در زیرحوضه شماره ۳ مقدار آن حداقل (۰/۹) است.

۳-۳- ضریب حساسیت سنگ و خاک به فرسایش (Y)

امتیاز عامل زمین‌شناسی از منابع مختلف (تگستانی، ۲۰۰۶؛ یمانی و اسکندرنژاد، ۲۰۱۰؛ خاکسار و همکاران، ۲۰۰۶) اخذ و طی آن از نظر مقاومت برای سنگ‌شناسی دامنه بین ۰/۱ تا ۲ لحاظ شده است، به‌طوری‌که سنگ‌های سست و بسیار حساس به فرسایش بیشترین امتیاز (کد ۲) و سنگ‌های مقاوم و سخت، کمترین امتیاز (کد ۰/۱) را به خود اختصاص داده‌اند. با توجه به گزارش زمین‌شناسی، منطقه موردمطالعه از لحاظ لیتولوزی و حساسیت به فرسایش به ۷ کلاس حساسیت تقسیک گردیده که در شکل ۱۰ مقادیر ضریب حساسیت سنگ و خاک به فرسایش در حوضه آبخیز کال‌آجی آورده شده است.

۴- محاسبه شب متوسط (I)

شب متوسط رابطه مستقیم و نسبتاً پیچیده‌ای با نفوذ آب و جریان سطحی و نیز رطوبت خاک دارد و در میزان فرسایش و تولید رسوب حوضه مؤثر است؛ بنابراین وجود این عامل به صورت بحرانی نقش تأثیرگذار در روند فرسایش و تولید رسوب می‌تواند داشته باشد (دیا و لی^۱، ۲۰۰۲). دامنه کلاس‌های شب به‌کاررفته در این مطالعه بر حسب درصد عبارتند از: ۵-۰، ۱۲-۵، ۲۵-۱۲ و ۴۰-۲۵. در شکل ۱۱ نقشه شب منطقه و همچنین در جدول ۴ شب حوضه آبخیز کال‌آجی نشان داده شده است. همان‌طور که از جدول ۴ پیداست بخش عمده حوضه موردمطالعه دارای شب بیش از ۱۲ درصد (۷۵ درصد مساحت حوضه) داشته‌اند که نشان از ناهموار بودن حوضه و تأثیر آن روی فرسایش و رسوب است.



شکل ۱۱- نقشه ضریب حساسیت شیب در حوضه

شکل ۱۰- نقشه ضریب حساسیت سنگ و خاک به فرسایش (Y)

جدول ۴. شیب حوضه

طبقات شیب (درصد)	مساحت (هکتار)	درصد مساحت
۵-۰	۴۲۶۵/۲۹	۲۴/۹۴
۱۲-۵	۶۷۹۲/۷	۳۹/۷۲
۲۵-۱۲	۵۹۹۱/۱۹	۳۵/۰۳
۴۰-۲۵	۵۰/۷۶	۰/۲۹

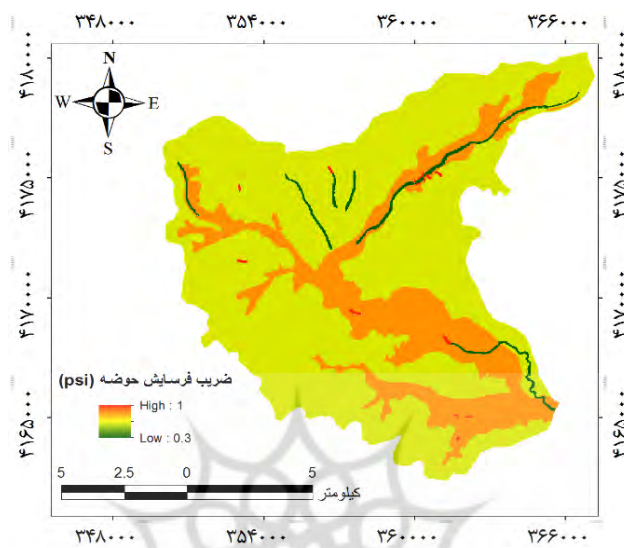
۳-۵- مقادیر ضریب فرسایش منطقه (Ψ)

پس از انجام بازدیدهای متعدد از حوضه مورد مطالعه، نقشه اشکال مختلف فرسایش تهیه گردید، به طور کلی در حوضه کالآجی ۵ تیپ فرسایش مشاهده گردید که در [جدول ۵](#) انواع مختلف فرسایش و ضرایب مربوطه آمده است. همچنین در [شکل ۱۲](#) به صورت نقشه ضریب فرسایش حوضه نشان داده شده است.

جدول ۵- انواع مختلف فرسایش در حوضه و ضرایب فرسایش

ضریب فرسایش	نوع فرسایش	شماره
۰/۷	Dulin	۱
۰/۳	River Bank Erosion	۲

۱/۰	Gully	۳
۰/۷	River Erosion + Sheet Erosion + Micro terrace	۴
۰/۶	sheet + rill + river + splash erosion	۵

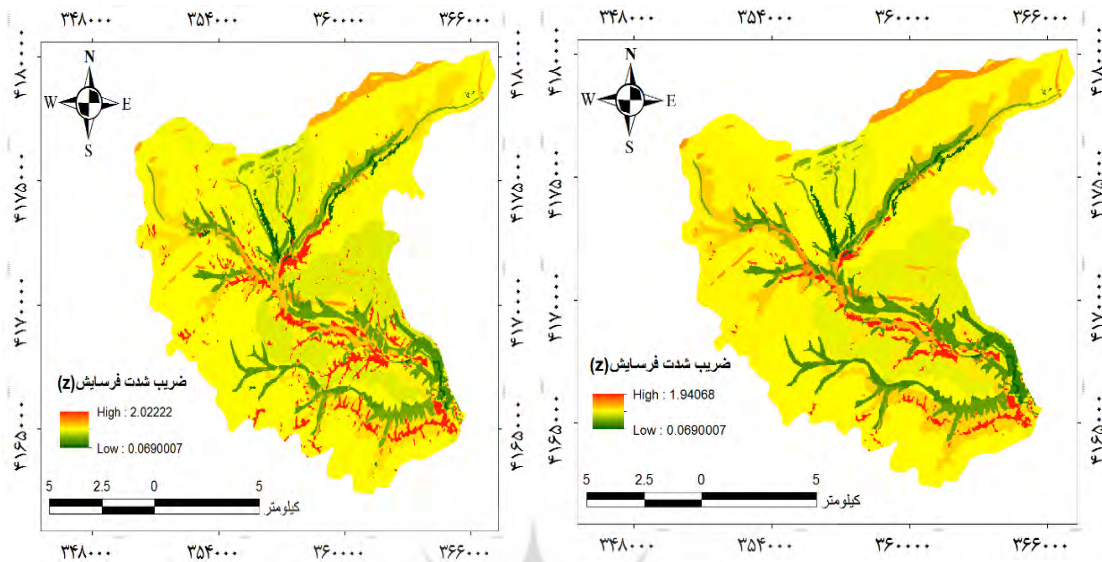


شکل ۱۲- نقشه ضریب فرسایش حوضه

۶-۳- ضریب شدت فرسایش

پس از تهیه عوامل چهارگانه مدل و جایگذاری آنها ضریب شدت فرسایش در اشکال ۱۳، ۱۴ و ۱۵ در سال‌های ۱۳۶۶، ۱۳۸۹ و ۱۳۹۸ نشان داده شده است. همچنین در جدول ۶ شدت فرسایش در زیرحوضه‌های مختلف را می‌توان مشاهده کرد. علت شدید بودن فرسایش در این زیرحوضه‌ها، شیب زیاد و حساسیت سنگ‌ها نسبت به فرسایش و خصوصاً تغییرات کاربری اراضی است.

پرستال جامع علوم انسانی

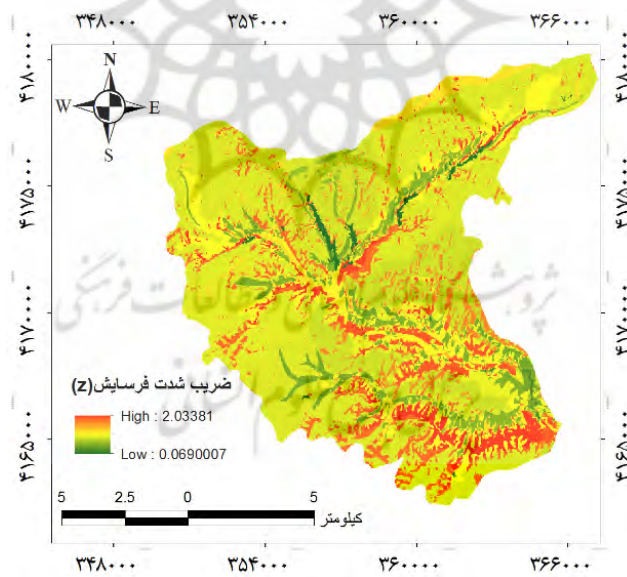


شکل ۱۴- نقشه ضریب شدت فرسایش (Z) در سال ۱۳۸۹

شکل ۱۳- نقشه ضریب شدت فرسایش (Z) در سال ۱۳۶۶

سال ۱۳۸۹

۱۳۶۶



شکل ۱۵- نقشه ضریب شدت فرسایش (Z) در سال ۱۳۹۸

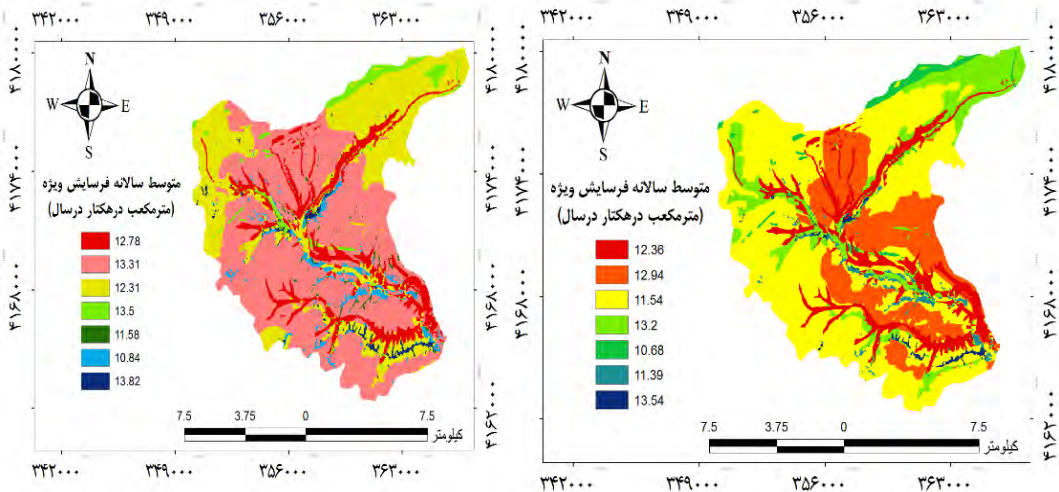
جدول ۶- ضریب شدت فرسایش زیر حوضه‌های آبخیز کال‌آجی

شدت فرسایش	Z-۱۳۹۸	Z-۱۲۸۹	Z-۱۳۶۶	زیر حوضه‌های آبخیز
شدید	۰/۹۵	۰/۸۲	۰/۸۰	۱
شدید	۰/۸۸	۰/۸۳	۰/۸۲	۲
شدید	۰/۹۲	۰/۸۱	۰/۷۸	۳
شدید	۰/۸۹	۰/۸۲	۰/۸۱	۴
شدید	۰/۷۶	۰/۷۳	۰/۷۲	۵
شدید	۰/۸۱	۰/۷۵	۰/۷۴	۶
شدید	۰/۸۶	۰/۸۱	۰/۸۰	۷
	۰/۸۷	۰/۸۰	۰/۷۸	میانگین

بر اساس جدول شماره ۶ می‌توان نتیجه گرفت مقدار ضریب شدت فرسایش حوضه در فاصله زمانی ۱۳۶۶ تا ۱۳۹۸ در مجموع در همه زیرحوضه‌ها افزایشی بود و در ضمن در زیرحوضه شماره ۳ مقدار آن حداقل (۰/۱) و در زیرحوضه شماره ۴ مقدار آن حداکثر (۰/۸) است.

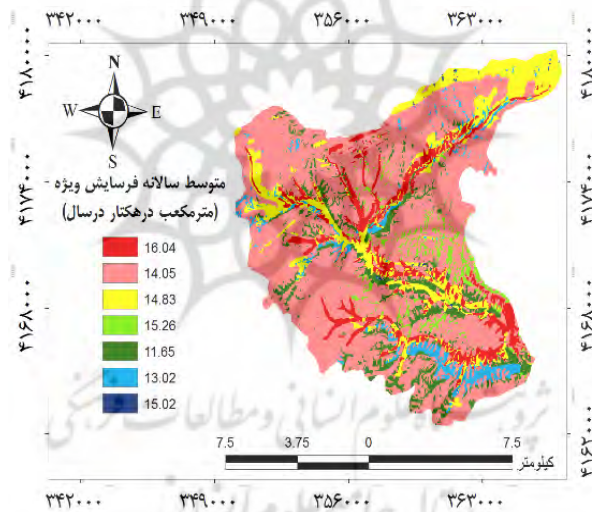
۷-۳- برآورد فرسایش ویژه در هر یک از زیر حوضه‌ها

در ادامه نتایج محاسبات برآورد مقادیر فرسایش ویژه هر یک از زیر حوضه‌ها در اشکال ۱۶، ۱۷ و ۱۸ همچنین در جدول ۷ و ۸ و شکل ۱۹ درصد فرسایش ویژه هر یک از زیر حوضه‌های حوضه آبخیز کال‌آجی ارائه گردیده است. با توجه به جداول ۸ و ۹ فرسایش ویژه بر حسب مترمکعب در سال در کیلومترمربع در همه زیرحوضه‌ها در فاصله زمانی ۱۳۶۶ تا ۱۳۹۸ کماکان افزایشی بوده مतهای در زیرحوضه شماره ۵ مقدار آن حداقل (۹۷۵۱) و در زیرحوضه شماره ۳ (۳۲۸۹۸) مقدار آن حداکثر است. همچنین، نتایج حاصل از محاسبات نشان می‌دهد مقدار فرسایش ویژه هر یک از زیرحوضه‌ها در دوره‌های زمانی مختلف متفاوت است. به طوری که زیرحوضه شماره ۵ و ۴ در هر سه دوره نسبت به سایر حوضه‌های دیگر مقدار فرسایش بیشتری را به خود اختصاص داده است و زیرحوضه ۵ و زیرحوضه شماره ۶ در بازه زمانی بین ۱۳۶۶ تا ۱۳۹۸ کمترین مقدار فرسایش را به خود اختصاص است.



شکل ۱۷- نقشه فرسایش ویژه هر یک از زیرحوضه‌ها در سال ۱۳۸۹

شکل ۱۶- نقشه فرسایش ویژه هر یک از زیرحوضه‌ها در سال ۱۳۶۶



شکل ۱۸- نقشه فرسایش ویژه هر یک از زیرحوضه‌ها در سال ۱۳۹۸

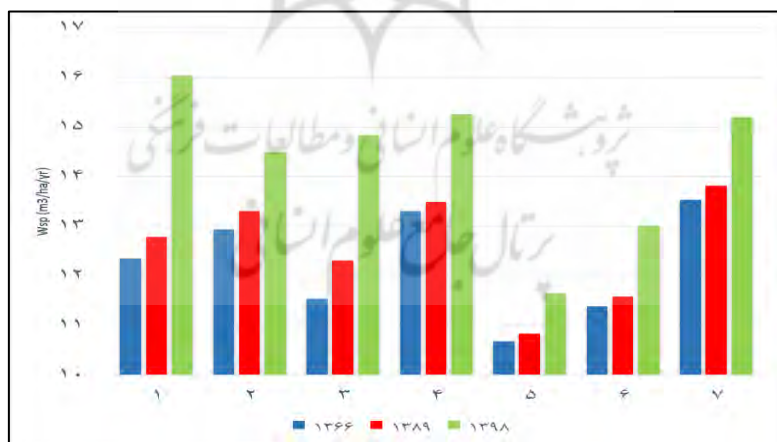
جدول ۷- درصد فرسایش ویژه هر یک از زیرحوضه‌ها در بین بازه زمانی ۱۳۶۶ تا ۱۳۹۸

Wsp (m ³ /ha/yr)			زیر حوضه‌های آبخیز
۱۳۹۸	۱۳۸۹	۱۳۶۶	
۱۲/۷۸	۱۲/۳۶	۱۲/۳۶	۱
۱۳/۳۱	۱۲/۹۴	۱۲/۹۴	۲
۱۲/۳۱	۱۱/۵۴	۱۱/۵۴	۳

Wsp ($m^3/ha/yr$)			زیر حوضه‌های آبخیز
۱۳۹۸	۱۳۸۹	۱۳۶۶	
۱۳/۵۰	۱۳/۳۰	۱۲/۳۰	۴
۱۰/۸۴	۱۰/۶۸	۱۰/۶۸	۵
۱۱/۵۸	۱۱/۳۹	۱۱/۳۹	۶
۱۳/۸۲	۱۳/۵۴	۱۳/۵۴	۷
۱۲/۰۹	۱۲/۴۲	۱۲/۳۹	میانگین

جدول ۸- فرسایش ویژه هر یک از زیر حوضه‌های حوضه آبخیز کال آجی در بین بازه زمانی ۱۳۹۸ تا ۱۳۶۶

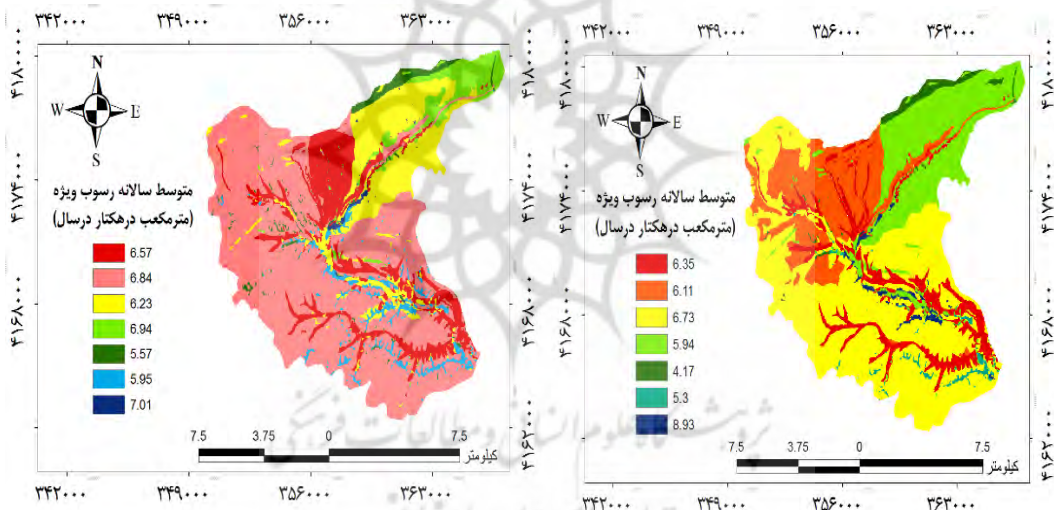
Wsp-۱۳۹۸ ($M^3/Km^2/Year$)	Wsp-۱۳۸۹ ($M^3/Km^2/Year$)	Wsp-۱۳۶۶ ($M^3/Km^2/Year$)	زیر حوضه‌های آبخیز
۱۶۰۳/۸۰	۱۲۷۸/۲۷	۱۲۳۵/۹۰	۱
۱۴۴۹/۶۴	۱۳۳۰/۶۹	۱۲۹۳/۷۳	۲
۱۴۸۳/۴۲	۱۲۳۱/۰۶	۱۱۵۴/۴۴	۳
۱۵۲۵/۸۶	۱۳۴۹/۷۴	۱۳۳۰/۳۵	۴
۱۱۶۴/۶۰	۱۰۸۳/۶۸	۱۰۷۷/۰۹	۵
۱۳۰۱/۷۰	۱۱۵۷/۹۴	۱۱۳۸/۹۲	۶
۱۵۲۰/۲۳	۱۳۸۲/۱۷	۱۳۵۴/۰۰	۷
۱۰۰۴۹/۲۵	۸۸۱۳/۵۵	۸۵۷۵/۴۴	جمع
۱۴۳۵/۶۱	۱۲۵۹/۰۸	۱۲۲۵/۰۶	میانگین



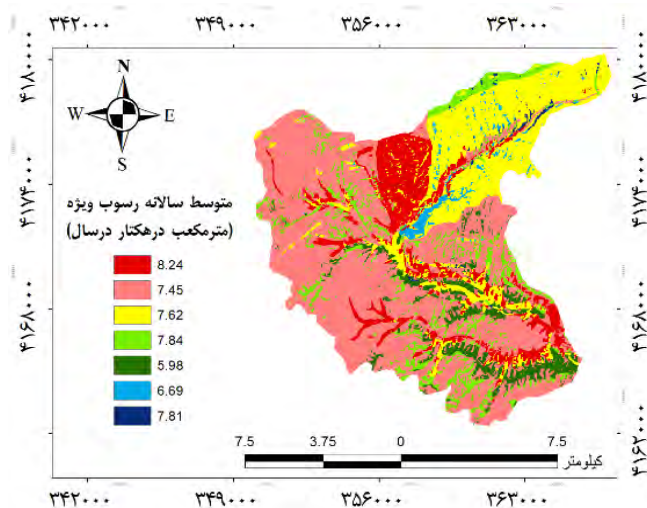
شکل ۱۹- نمودار درصد فرسایش ویژه هر یک از زیرحوضه‌های کال آجی در بین بازه زمانی ۱۳۹۸ تا ۱۳۶۶

۳-۸- برآورد رسوب ویژه در هر یک از زیرحوضه‌ها

با توجه به مقادیر متوسط ضریب شدت فرسایش (Z) در هر یک از واحدهای کاری حوضه آبخیز کالآجی، رسوب ویژه مربوط به هر زیرحوضه با استفاده از روش میانگین وزنی محاسبه گردید. در ادامه نتایج محاسبات برآورده مقادیر رسوب هر یک از زیرحوضه‌ها در [اشکال ۲۰](#)، [۲۱](#) و [۲۲](#) همچنین در [جدول ۹](#) و [۱۰](#) و [شکل ۲۳](#) درصد رسوب ویژه هر یک از زیرحوضه‌های حوضه آبخیز کالآجی ارائه گردیده است. با توجه به [جدول ۱۰](#) رسوب ویژه برحسب مترمکعب در سال در کیلومترمربع در همه زیرحوضه‌ها به جز زیر حوضه شماره ۷ در فاصله زمانی ۱۳۶۶ تا ۱۳۹۸ کماکان افزایشی بوده است. همچنین، نتایج حاصل از محاسبات نشان می‌دهد مقدار رسوب هر یک از زیرحوضه‌ها در دوره‌های زمانی مختلف متفاوت است. به طوری که زیرحوضه شماره ۷ و ۱ در هر سه دوره نسبت به سایر زیرحوضه‌های دیگر مقدار رسوب بیشتری را تولید کرده است و زیرحوضه ۵ و زیرحوضه شماره ۶ در بازه زمانی بین ۱۳۶۶ تا ۱۳۹۸ کمترین مقدار رسوب را تولید کرده است.



شکل ۲۰- نقشه رسوب ویژه هر یک از زیرحوضه‌ها در سال ۱۳۶۶
شکل ۲۱- نقشه رسوب ویژه هر یک از زیرحوضه‌ها در سال ۱۳۸۹



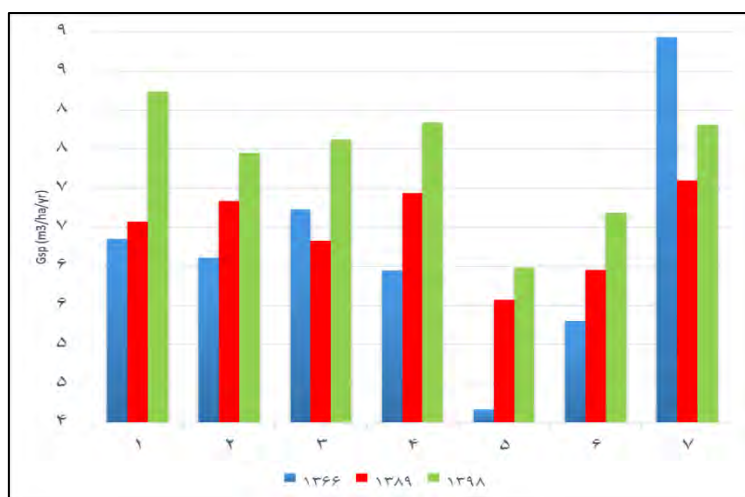
شکل ۲۲- نقشه رسوب ویژه هر یک از زیرحوضه‌های حوضه آبخیز کالآجی در سال ۱۳۹۸

جدول ۹- رسوب ویژه هر یک از زیرحوضه‌های حوضه آبخیز کالآجی در بین بازه زمانی ۱۳۶۶ تا ۱۳۹۸

Gsp-۱۳۹۸ ($\text{m}^3/\text{Km}^2/\text{Year}$)	Gsp-۱۳۸۹ ($\text{m}^3/\text{Km}^2/\text{Year}$)	Gsp-۱۳۶۶ ($\text{m}^3/\text{Km}^2/\text{Year}$)	زیر حوضه‌های آبخیز
۸۲۴/۱۴	۶۵۷/۸۶	۶۳۵/۰۹	۱
۷۴۴/۹۲	۶۸۳/۸۰	۶۱۱/۰۰	۲
۷۶۲/۲۸	۶۲۲/۶۰	۶۷۲/۹۸	۳
۷۸۴/۰۹	۶۹۳/۵۹	۵۹۴/۳۶	۴
۵۹۸/۴۵	۵۵۷/۸۷	۴۱۶/۷۲	۵
۶۶۷/۹۰	۵۹۰/۰۲	۵۲۹/۹۹	۶
۷۸۱/۱۹	۷۱۰/۲۵	۸۹۲/۹۸	۷
۵۱۶۳/۹۷	۴۵۲۹/۰۰	۴۳۵۳/۱۲	جمع

جدول ۱۰- درصد رسوب ویژه هر یک از زیرحوضه‌ها در بین بازه زمانی ۱۳۶۶ تا ۱۳۹۸

Gsp ($\text{m}^3/\text{ha}/\text{yr}$)			زیر حوضه‌های آبخیز
۱۳۹۸	۱۳۸۹	۱۳۶۶	
۸/۲۴	۷/۵۷	۷/۳۵	۱
۷/۴۵	۷/۸۴	۷/۱۱	۲
۷/۶۲	۷/۳۳	۷/۷۳	۳
۷/۸۴	۷/۹۴	۵/۹۴	۴
۵/۹۸	۵/۵۷	۴/۱۷	۵
۶/۶۹	۵/۹۵	۵/۳۰	۶
۷/۸۱	۷/۱۰	۸/۹۳	۷



شکل ۲۳- نمودار درصد رسوب ویژه هر یک از زیرحوضه‌های حوضه آبخیز کالآجی در بین بازه زمانی ۱۳۶۶ تا ۱۳۹۸

بر اساس نتایج به دست آمده مجموع مقادیر رسوب ویژه مربوط به بازه زمانی ۱۳۶۶ (مترمکعب ۴۳۵۳/۱۲) بوده که این میزان در سال ۱۳۹۸ ۵۱۶۴/۰۰ مترمکعب افزایش داشته است که با تغییرات افزایشی یا کاهشی تغییرات کاربری اراضی رخ داده، در منطقه همخوانی دارد. چنانچه مشاهده شد که سطح اراضی کشاورزی در فاصله زمانی بین ۱۳۶۶ تا ۱۳۹۸ به میزان ۱۶/۸۳ درصد افزایش داشته است.

با توجه به جدول ۱۰ و با در نظر گرفتن وزن مخصوص رسوب معادل ۱/۳ تن در مترمکعب در کل حوضه به ترتیب برای سال‌های ۱۳۶۶، ۱۳۸۹ و ۱۳۹۸ آورده شده است که مقدار رسوب برای بازه زمانی ۱۳۶۶ معادل ۱۳۹۸ ۵۷۰۲/۶۲ تن در سال، برای بازه زمانی ۱۳۸۹ معادل ۵۸۸۷/۷۲ تن در سال و برای بازه زمانی ۱۳۹۸ معادل ۶۷۱۳/۲۰ تن در سال است، که با تقسیم بر مساحت حوضه مقداری برابر ۰/۳۳ تن در هکتار در سال ۱۳۶۶، ۰/۳۴ تن در هکتار برای سال ۱۳۸۹ و ۰/۳۹ تن در هکتار برای سال ۱۳۹۸ برآورد گردید.

۴- نتیجه‌گیری

تحقیق حاضر با هدف آشکارسازی تغییرات کاربری اراضی در ۳۲ سال گذشته و اثرات آن روی فرسایش و رسوب صورت گرفته است. نتایج طبقه‌بندی تصاویر در این بررسی همانند دیگر تحقیقات صورت گرفته، بیانگر قابلیت تصاویر ماهواره‌ای در تهیه نقشه کاربری اراضی و پوشش زمین است. استفاده از تصاویر چند زمانه با بازه‌های زمانی معین، می‌تواند به مدیران در پایش منابع طبیعی و تصمیم‌گیری درباره آینده کمک کند. نقشه‌های کاربری اراضی تهیه شده از حوضه مورد بررسی نشان می‌دهد که درصد مساحت کشاورزی، مرتع،

مسکونی و پنهانه‌های آبی در سال ۱۳۶۶ به ترتیب ۴، ۰/۷۷، ۹۵/۰۴ و ۰ بوده که در سال ۱۳۸۹ به ترتیب به ۷/۲۱، ۹۱/۹۴، ۹۱/۰۸ و ۰/۰۸ رسیده و در سال ۱۳۹۸ به ترتیب ۲۱/۰۲، ۷۸/۱۲، ۰/۷۸ و ۰/۰۸ رسیده است؛ به عبارت دیگر در ۳۲ سال گذشته (۱۳۶۶-۱۳۹۸) حدود ۲۸۷۶ هکتار از سطح مراتع کاسته شده که تقریباً تمام آن به کشاورزی تبدیل شده است. درصد کاهش مساحت مرتع در دوره زمانی ۱۳۶۶-۱۳۸۹ و ۱۳۸۹-۱۳۹۸ به ترتیب ۳/۱۰ و ۱۳/۸۲ است. سرعت رشد مسکونی در حوضه موردمطالعه بسیار کم است. بررسی تغییرات کاربری اراضی و پوشش زمین سالهای مختلف در حوضه نشان داد که تغییرات صورت گرفته عموماً به صورت کاهش سطح مرتع و افزایش مساحت اراضی کشاورزی است. بر این اساس می‌توان نتیجه‌گیری کرد که عامل اصلی تغییرات کاربری اراضی در حوضه موردمطالعه، دخالت‌های انسانی است. می‌توان گفت نتایج این مطالعه با نتایج مطالعه افرادی چون اسفندیاری و همکاران (۲۰۱۴)، مرادی و همکاران (۲۰۱۶)، فیضی‌زاده (۲۰۱۷)، اصغری سراسکانرود و همکاران (۲۰۱۷)، مارتینز و همکاران (۲۰۱۱) و داسیلو و همکاران (۲۰۱۶) تطابق دارد. بدین صورت که آن‌ها نیز معتقدند کاربری کشاورزی از بیشترین پتانسیل و مراتع از کمترین پتانسیل برای ایجاد فرسایش برخوردارند. نتایج نشان داد که ضریب شدت فرسایش در سال‌های ۱۳۶۶، ۱۳۸۹ و ۱۳۸۶ به ترتیب ۰/۷۸، ۰/۸۰ و ۰/۸۷ است. مشاهده می‌شود که روند تغییرات ضریب شدت فرسایش افزایشی است. در ضمن، میزان فرسایش ویژه حوضه در این سال‌ها به ترتیب ۱۲۲۵/۰۶، ۱۲۵۹/۰۸ و ۱۴۳۵/۶۱ مترمکعب در کیلومترمربع در سال است؛ یعنی سال ۱۳۹۸ متناظر با ضریب شدت فرسایش، فرسایش ویژه بیشتری داشته است. کشت و کار روی سازندهای سیلتی-رسی حساس به فرسایش آبی، احداث تاکستان‌های دیم روی دامنه‌های شیب‌دار و تخریب مراتع منجر به فرسایش تشدیدی در خاک‌های سطح حوضه شده است. این تغییرات نقش مهم مراتع و پوشش گیاهی حوضه آبخیز کال‌آجی را نشان می‌دهد که موجب افزایش میزان رسوب خروجی زیر حوضه‌ها گردیده است.

به نظر می‌رسد لازم است در جهت حفظ عرصه‌های طبیعی، ثبت و قانونی کردن کاربری اراضی و کنترل فرسایش، اقداماتی برای حفاظت از خاک و آب در مناطق با پتانسیل فرسایش بالا در چهارچوب طرح‌های حفاظتی در دستور کار متخصصان و مدیران اراضی قرار گیرد. از سوی دیگر، هرگونه تغییر در کاربری اراضی حوضه موردمطالعه، بایستی بر اساس آگاهی و دانش کافی از محدودیت‌های زیست‌محیطی منطقه و خطرات احتمالی ناشی از تغییر کاربری اراضی باشد.

کتابنامه

احمدی، حسن؛ ۱۳۸۶. ژئومورفولوژی کاربردی جلد ۱ (فرسایش آبی)، انتشارات دانشگاه تهران. ۶۸۸ ص.

اسفندياري، مهرداد؛ معيني، ابوالفضل؛ مقدسی، راحله؛ ۱۳۹۳. بررسی تأثیر کاربری اراضی و پوشش گیاهی بر اشكال فرسایش و ميزان تولید رسوب (مطالعه موردی حوزه آبخیز رود ورس استان قزوین). مجله جغرافیای سرزمین، ۱۱ (۲)، ۵۱-۶۲.

https://sarzamin.srbiau.ac.ir/article_7974_931e5dd1c2fe799361af66c7f9057b3a.pdf

اصغری سراسکانرود، صیاد؛ آقایاری، لیلا؛ پیروزی، الناز؛ ۱۳۹۶. بررسی تغییرات کاربری اراضی و تأثیر آن بر فرسایش با استفاده از RS و GIS (مطالعه موردی: شهرستان نیر). مجله سنجش از دور و سامانه اطلاعات جغرافیایی در منابع طبیعی، ۸(۴)، ۴۹-۶۲.

https://journals.iau.ir/article_539088_e6b20b13c35e7d599fb4903c04889227.pdf

بيات، رضا؛ سررسته‌داری، امير؛ جعفری‌اردکانی، علی؛ سکوتی‌اسکوبی، رضا؛ ۱۳۹۱. شبیه‌سازی تأثیر مدیریت کاربری اراضی بر فرسایش خاک حوزه آبخیز دریاچه ارومیه. مهندسی و مدیریت آبخیز، ۴(۳)، ۱۲۶-۱۱۸.

https://jwem.areeo.ac.ir/article_101747_0478a26d93d1e69b070962d76161e3ad.pdf

تاجیکی، مهدی؛ ۱۳۸۶. ارزیابی اثر اقدامات آبخیزداری بر روحی سیل خیزی و رسوب‌اهی (مطالعه موردی: حوضه آبخیز رامیان). پایان‌نامه کارشناسی ارشد آبخیزداری، دانشگاه علوم کشاورزی و منابع طبیعی گرگان.

خاکسار، کاوه؛ گودرزی، مسعود؛ غریب‌رضا، محمد رضا؛ رحمتی، مراحم؛ ۱۳۸۵. تعیین حساسیت سازنده‌ای زمین‌شناسی حوضه آبخیز مهارلو به فرسایش. فصلنامه علوم زمین، ۶۲، ۱۲۹-۱۱۶.

<https://www.sid.ir/paper/31920/fa>

دادرسی سبزوار، ابوالقاسم؛ رنگ‌آور، عبدالصالح؛ ۱۳۸۴. بررسی اثر تغییرات عمق خاک و شیب بر ميزان تولید رسوب، مجموعه مقالات سومین همایش ملی فرسایش و رسوب، مرکز تحقیقات حفاظت خاک و آبخیزداری.

<https://civilica.com/doc/8325>

رفاهی، حسینقلی؛ ۱۳۸۸. فرسایش آبی و کترول آن، انتشارات دانشگاه تهران. ۶۷۲ ص.

علوی پناه، سید‌کاظم؛ احسانی، امیر‌هوشنگ؛ ۱۳۸۲. بررسی بیانزایی و تغییرات اراضی پلایای دامغان با استفاده از داده‌های ماهواره‌ای چندزمانه و چند طیفی. مجله بیابان، ۱(۱)، ۱۴۳-۱۵۴.

<https://www.sid.ir/paper/5320/fa>

عابدینی، موسی؛ شبرنگ، شنو؛ ابازر، اسماعلی؛ ۱۳۹۲. بررسی ميزان فرسایش خاک و رسوب‌هی در حوضه آبخیز مشکین‌چای به روش EPM. فصلنامه جغرافیا و توسعه، ۱۱(۳۰)، ۱۰۰-۸۷.

https://gdij.usb.ac.ir/article_245_2765332d8717e2e654a4562074d00f1d.pdf

فيضی زاده، بختیار؛ ۱۳۹۶. مدلسازی تغییرات کاربری اراضی و اثرات آن بر سیستم فرسایش در حوضه سد علیان با استفاده از تکنیک‌های سنجش از دور و GIS. هیئرولوژی‌ژئومورفولوژی، ۳(۱۱)، ۲۱-۳۸.

https://hyd.tabrizu.ac.ir/article_6712_863dc2dac02f02a7b0225f6656988e3d.pdf

قهرمان نژاد، اسلام؛ نظرنژاد، حبیب؛ میریعقوبزاده، میرحسن؛ ۱۳۹۶. تأثیر سناریوهای مختلف مدیریت کاربری اراضی بر میزان فرسایش خاک با مدل USLE در حوضه کلیبرچای. *نشریه حفاظت منابع آب و خاک (علمی-پژوهشی)*، ۷(۲)، ۹۱-۱۰۴.

https://wsrcj.srbiau.ac.ir/article_11548_fbb577c5d2c4a9acfce07613bcb0189f.pdf

قبرزاده، هادی؛ غلامرضايی، محمدرضا؛ ۱۳۸۸. برآورد پتانسیل فرسایش و رسوب با مدل EPM در حوضه آبخیز آركمر در فریمان با استفاده از سیستم اطلاعات جغرافیایی. *مجله علوم جغرافیایی*، شماره ۷(۸)، ۱۸۷-۲۰۶.

<https://magazine.hormozgan.ac.ir/article-1-161-fa.pdf>

مرادی، علیرضا؛ جعفری، محمد؛ ارزانی، حسین؛ ابراهیمی، مهدیه؛ ۱۳۹۵. ارزیابی تغییر کاربری اراضی مرتتعی به دیمزار با استفاده از تصاویر ماهواره‌ای و سیستم اطلاعات جغرافیایی. *مجله سنجش از دور و سیستم اطلاعات جغرافیایی در منابع طبیعی*، ۷(۱)، ۱۰۰-۸۹.

https://girs.bushehr.iau.ir/article_521998_022633f2b5e8579d69d594091d629719.pdf

نبی‌پی لشکریان، سارا؛ ۱۳۷۹. بررسی اثرات کاربری اراضی در فرسایش خاک و رسوب‌هی حوضه آبخیز رودخانه ماسوله در گیلان، پایان‌نامه کارشناسی ارشد آبخیزداری، دانشگاه علوم کشاورزی و منابع طبیعی گرگان

یمانی، مجتبی؛ اسکندری نژاد، فاطمه؛ ۱۳۸۹. تأثیر عوامل ژئومورفولوژیک بر رسوب‌زایی حوضه قزقچای (زیر‌حوضه حبله‌رود در بالا دست سد نم‌رود). *مجله پژوهش‌های علوم زمین*، ۱، ۱۷-۱۷.

<https://rtis2.ut.ac.ir/cv/myamani/>

Adélia N, Nunes ACA. and Celeste C., 2011. Impact of land use and cover type on runoff and soil erosion in a marginal area of Portugal. *Applied Geography*, 31(2): 687-699.

DOI: 10.1016/j.apgeog.2010.12.006. <https://doi.org/10.1016/j.apgeog.2010.12.006>

Battany MC. and Grismer ME., 2000. Rainfall runoff and ero-sion in Napa Valley vineyards effect of slope cover and surface roughness, Hydrological process. Vol. 14, PP: 1289-1304. [https://doi.org/10.1002/\(SICI\)1099-1085\(200005\)14:7<1289::AID-HYP43>3.0.CO;2-R](https://doi.org/10.1002/(SICI)1099-1085(200005)14:7<1289::AID-HYP43>3.0.CO;2-R)

Bolstad, P. V, and Lillesand, T. M, (1991). Rapid maximum likelihood classification Photogramm. Eng. Remote Sens. 57.

https://www.asprs.org/wp-content/uploads/pers/1991journal/jan/1991_jan_67-74.pdf

Chavez PS., 1996. Image-based atmospheric corrections-Revisited and improved. Photogrammetric Engineering and Remote Sensing, 62, 1025– 1036. http://static1.1.sqspcdn.com/ static/f/891472/15133582/1321370214637/Chavez_P.S._1996.pdf

Da Silva VPR, Silva MT. and De Souza, EP., 2016. Influence of land use change on sediment yield: a case study of the sub-middle of the Sao francisco river basin, Soil Engineering, 36 (6), 1005-1015. <https://doi.org/10.1590/1809-4430-Eng.Agric.v36n6p1005-1015/2016>

Dai FC. and Lee C.F., 2002. Landslide characteristics and slope stability Modeling using GIS, Lantau, Island, Hong Kong, Geomorphology, 31, 181-216.[http://dx.doi.org/10.1016/S0169-555X\(01\)00087-3](http://dx.doi.org/10.1016/S0169-555X(01)00087-3)

Du Y, Teillet PM. and Cihlar J., 2002. Radiometric normalization of multi-temporal high-resolution satellite images with quality control for land cover change detection. *Remote Sensing of Environment* 82: 123–134.[https://doi.org/10.1016/S0034-4257\(02\)00029-9](https://doi.org/10.1016/S0034-4257(02)00029-9)

- Ghosh K, Kumar DS, Sushima S. and Bandyopadhyay S., 2013. Assessment of soil loss of the Dhalai River Basin, Tripura, India using RUSLE. International Journal of Geosciences., 4: 11-23. https://www.scirp.org/pdf/IJG_2013011115152357.pdf
- Martínez-Murillo MJF, Lopez Vicente M, Poesen J. and Ruiz Sinoga JD., 2011. Modelling the effects of land use changes on runoff and soil Erosion in two Mediterranean catchments with active gullies (South of Spain), Landform Analysis, 17(1), 99-104. <https://idp.kuleuven.be/idp/profile/SAML2/Redirect/SSO?execution=e2s1>
- Milevski I., 2008. Estimation of soil erosion risk in a upper part of Bregalnica watershed- republic of Macedonia, based on digital elevation model and satellite imagery, 5th international Conference on Geographic Infromation systems (ICGIS), 351-358. <http://www.milevski.50webs.com/trudovi/Ivica%20Milevski%20Estimation%20of%20soil%20erosion%20risk%20in%20the%20upper%20part%20of%20Bregalnica%20watershed.pdf>
- Paroissien JB, Darboux F, Couturier A, Devillers B, Mouillot F, Raclot D. and Le Bissonnais Y., 2015. A Method for modeling the effects of Climate and Land Use Changes on Erosion and Sustainability of Soil in a Mediterranean Watershed (Languedoc, France). Journal of Environmental Management. 150:57-68 <https://shs.hal.science/halshs-01103359/document>
- Shellberg JG, Spencer J, Brooks AP. and Pietsch TJ., 2016. Degradation of the Mitchell River Fluvial Megafan by Alluvial Gully Erosion Increased by Post-European Land Use Change, Queensland, Australia. Geomorphology, 266: 105–120. <https://doi.org/10.1016/j.geomorph.2016.04.021>
- Tangestani M., 2006. Comparison of EPM and PSIAC models in GIS for erosion and sediment yield in a semi-arid Environment, Journal of Asian earth Science, 27(5), 585-597. <https://doi.org/10.1016/j.jseas.2005.06.002>
- Ye B. and Bai Z., 2008. Simulating land use/land cover changes of Nanjing County based on Camarkov model. In IFIP International Federation for Image processing, Vol, 1, 321-329.<https://dl.ifip.org/db/conf/ifip12/ccta2007-1/YeB07.pdf>
- Yuan Z, Chu Y. and Shen Y., 2015. Simulation of surface runoff and sediment yield under different land-use in a Taihang Mountains watershed, North China. Soil & Tillage Research. <https://www.sciencedirect.com/science/article/abs/pii/S0167198715000872>.

پژوهشگاه علوم انسانی و مطالعات فرهنگی
پرستال جامع علوم انسانی